

电磁场与电磁波

第13讲

1. 磁化铁氧体中的平面波
2. 高斯光束传播的平面波展开

第12讲复习

2

复习要点

- 电各向异性介质可用并矢 $\vec{\epsilon}$ 表示，波在其中的传播可分为寻常波与非寻常波，非寻常波的传播特性与方向有关。当任一线极化波入射到单轴单晶片上时，将分解为极化方向相互垂直的寻常波与非寻常波，由于这两种波的 k 值不同，折射角不同，在晶片内这两个波的射线将分离，这就是双折射现象。液晶激活后成为各向异性介质，液晶显示器正利用这一特点。

磁各向异性介质的张量表示

磁各向异性介质中， \mathbf{B} 与
 \mathbf{H} 不再平行，其关系为

$$\begin{pmatrix} B_x \\ B_y \\ B_z \end{pmatrix} = \begin{pmatrix} \mu_{xx} & \mu_{xy} & \mu_{xz} \\ \mu_{yx} & \mu_{yy} & \mu_{yz} \\ \mu_{zx} & \mu_{zy} & \mu_{zz} \end{pmatrix} \begin{pmatrix} H_x \\ H_y \\ H_z \end{pmatrix}$$

引入并矢 $\vec{\mu}$

$$\vec{\mu} = \begin{bmatrix} \mu_{xx} \mathbf{x}_0 \mathbf{x}_0 & \mu_{xy} \mathbf{x}_0 \mathbf{y}_0 & \mu_{xz} \mathbf{x}_0 \mathbf{z}_0 \\ \mu_{yx} \mathbf{y}_0 \mathbf{x}_0 & \mu_{yy} \mathbf{y}_0 \mathbf{y}_0 & \mu_{yz} \mathbf{y}_0 \mathbf{z}_0 \\ \mu_{zx} \mathbf{z}_0 \mathbf{x}_0 & \mu_{zy} \mathbf{z}_0 \mathbf{y}_0 & \mu_{zz} \mathbf{z}_0 \mathbf{z}_0 \end{bmatrix}$$

\mathbf{B} 与 \mathbf{H} 关系可记为 $\mathbf{B} = \vec{\mu} \cdot \mathbf{H}$

高频下磁化铁氧体的相对导
磁率是一反对称二阶张量

$$\vec{\mu}_r = \begin{bmatrix} \mu_{11} & -j\mu_{12} & 0 \\ j\mu_{12} & \mu_{11} & 0 \\ 0 & 0 & 1 \end{bmatrix}$$

$$\text{其中 } \mu_{11} = 1 + \frac{\omega_g \omega_m}{\omega_g^2 - \omega^2} \quad \mu_{12} = \frac{\omega \omega_m}{\omega_g^2 - \omega^2} \quad \omega_g = \gamma_e H_0 \quad \omega_m = \gamma_e M_0$$

$\gamma_e = e/m = -1.76 \times 10^{11} \text{ C/kg}$ ，是一常数，称为旋磁比。

高频下磁化铁氧体的特点

$$\vec{\mu}_r = \begin{bmatrix} \mu_{11} & -j\mu_{12} & 0 \\ j\mu_{12} & \mu_{11} & 0 \\ 0 & 0 & 1 \end{bmatrix} \quad \begin{aligned} \mu_{11} &= 1 + \frac{\omega_g \omega_m}{\omega_g^2 - \omega^2} & \omega_g &= \gamma_e H_0 \\ \mu_{12} &= \frac{\omega \omega_m}{\omega_g^2 - \omega^2} & \omega_m &= \gamma_e M_0 \end{aligned}$$

由此可见：

- (1) 如果 $\omega_g = 0$, $\omega_m = 0$, 则 $\mu_{11} = 1$, $\mu_{12} = 0$, $\mathbf{B} = \mu_0 \mathbf{H}$,
因此, 未受磁化的铁氧体是一均匀各向同性的介质。
- (2) 当一恒定磁场 \mathbf{H}_0 加在铁氧体上时, 它变成一块各向异性介质。
- (3) 如果 $\omega = 0$ (没有高频场), 则 $\mu_{11} = 1 + \frac{\omega_m}{\omega_g}$, $\mu_{12} = 0$
铁氧体成为一种磁性单轴晶体。
- (4) μ_{11} 、 μ_{12} 都是外加直流磁场 \mathbf{H}_0 、饱和磁化强度 \mathbf{M}_0 和外加频率 ω 的函数。因此可以用改变 \mathbf{H}_0 的办法改变 μ_{11} 和 μ_{12} 。
- (5) 当 $\omega = \omega_g$, $\mu_{11} \rightarrow \infty$, $\mu_{12} \rightarrow \infty$, 发生所谓共振现象。称它为**铁磁共振**。
张量磁导率 μ_r 是在 $h \ll H_0$ 情况下得到的, 因此 \mathbf{b} 和 \mathbf{h} 的关系是线性的。

如何理解磁共振？

5

除了我们要讲的**铁磁共振**，我们熟悉的还有**核磁共振**，**核磁共振**究竟是什么？

核磁共振是磁矩不为零的原子核，在外磁场作用下自旋能级发生塞曼分裂，共振吸收某一定频率的射频辐射的物理过程。

铁磁共振和核磁共振的共同点：外加磁场的作用；

不同点：**核磁共振考虑到量子效应。**

共振对应于数学的**极点**。**数学中的奇异性**一定对应于一些**特殊的物理现象**。科学研究中遇到奇异性的问题总是很麻烦，这些问题一直折磨着物理学家，但奇异性的发生往往预示着重要科学规律的发现。

科学家“害怕”奇异性，但又渴望“邂逅”奇异性。

物理学天才德布罗意

6

谈到量子效应，我们不得不提到一个伟大的天才——法国的**德布罗意**。

德布罗意建立了物质波理论。简单的说：电子和光一样，也具有波动性。他撰写了一篇很短的博士论文（也许是人类史上最短的博士学位论文），并因此获得了Nobel奖（历史上唯一因为博士论文的贡献获得Nobel奖）。他将光的波动性扩展至物质（电子）也具有波动性。为薛定谔方程的提出提供了思想基础。

德布罗意成功的启示：兴趣是最好的导师！



磁化铁氧体中的波方程及其平面波解



磁化铁氧体的本构关系 $\mathbf{b} = \vec{\mu} \cdot \mathbf{h}$

麦克斯韦方程组
中两个旋度方程为

$$\nabla \times \mathbf{h} = j\omega\epsilon_0 \mathbf{E}$$
$$\nabla \times \mathbf{E} = -j\omega\vec{\mu} \cdot \mathbf{h}$$

消去 \mathbf{E} ，得到磁化
铁氧体中波方程

$$-\nabla^2 \mathbf{h} + \nabla(\nabla \cdot \mathbf{h}) - \omega^2 \epsilon_0 \vec{\mu} \cdot \mathbf{h} = 0 \quad (1)$$

假设铁氧体中具有平面波解 $\mathbf{h} = \mathbf{h}_0 e^{-jk \cdot \mathbf{r}} \quad \begin{cases} \mathbf{k} = k_x \mathbf{x}_0 + k_y \mathbf{y}_0 + k_z \mathbf{z}_0 \\ \mathbf{r} = x\mathbf{x}_0 + y\mathbf{y}_0 + z\mathbf{z}_0 \end{cases}$

式(1) 成为

$$k^2 \mathbf{h}_0 - \mathbf{k}(\mathbf{k} \cdot \mathbf{h}_0) - \omega^2 \epsilon_0 \vec{\mu} \cdot \mathbf{h}_0 = 0 \quad (2)$$

式(2)就是磁化铁氧体中平面波解满足的波方程。

磁化铁氧体中的波方程及其平面波解



8

磁化铁氧体中平面
波解满足的波方程

$$k^2 \mathbf{h}_0 - \mathbf{k}(\mathbf{k} \cdot \mathbf{h}_0) - \omega^2 \varepsilon_0 \vec{\mu} \cdot \mathbf{h}_0 = 0 \quad (2)$$

将式 (2) 写成分量形式，并设 \mathbf{k} 在 x - z 平面与 z 轴成 θ 角，则

$$\begin{cases} \mathbf{h}_0 = h_x \mathbf{x}_0 + h_y \mathbf{y}_0 + h_z \mathbf{z}_0 \\ \mathbf{k} = k_x \mathbf{x}_0 + k_z \mathbf{z}_0 \end{cases} \quad \begin{cases} k_x = k \sin \theta \\ k_z = k \cos \theta \\ k_y = 0 \end{cases}$$

因此有

$$\begin{bmatrix} k^2 - k^2 \sin^2 \theta - k_0^2 \mu_{11} & j k_0^2 \mu_{12} & -k^2 \sin \theta \cos \theta \\ -j k_0^2 \mu_{12} & k^2 - k_0^2 \mu_{11} & 0 \\ -k^2 \sin \theta \cos \theta & 0 & k^2 - k^2 \cos^2 \theta - k_0^2 \end{bmatrix} \begin{bmatrix} h_x \\ h_y \\ h_z \end{bmatrix} = 0 \quad (3)$$

其非零解必须使其系数行列式为零，则得传播常数的两个解 k^\pm 为

$$k^\pm = k_0 \left\{ \frac{(\mu_{11}^2 - \mu_{12}^2 - \mu_{11}) \sin^2 \theta + 2\mu_{11} \pm [(\mu_{11}^2 - \mu_{12}^2 - \mu_{11})^2 \sin^2 \theta + 4\mu_{12}^2 \cos^2 \theta]^{1/2}}{2[(\mu_{11} - 1) \sin^2 \theta + 1]} \right\}^{1/2} \quad (4)$$

磁化铁氧体中的平面波解

9

$$k^{\pm} = k_0 \left\{ \frac{(\mu_{11}^2 - \mu_{12}^2 - \mu_{11}) \sin^2 \theta + 2\mu_{11} \pm [(\mu_{11}^2 - \mu_{12}^2 - \mu_{11})^2 \sin^2 \theta + 4\mu_{12}^2 \cos^2 \theta]^{1/2}}{2[(\mu_{11} - 1) \sin^2 \theta + 1]} \right\}^{1/2} \quad (4)$$

1.纵向传播的波：波矢 \mathbf{k} 平行于直流磁场 \mathbf{H}_0 ， $\theta=0$

$$k^{\pm} = k_0 (\mu_{11} \pm \mu_{12})^{1/2}$$

2.横向传播的波：波矢 \mathbf{k} 正交于直流磁场 \mathbf{H}_0 ， $\theta = \pi/2$

(1)当 $\mathbf{h} \perp \mathbf{H}_0$ 时，有

$$k = k_0 \left(\frac{\mu_{11}^2 - \mu_{12}^2}{\mu_{11}} \right)^{1/2}$$

(2)当 $\mathbf{h} // \mathbf{H}_0$ 时，因为 \mathbf{H}_0 在 z 方向，故 \mathbf{h} 也只有 h_z 分量，由式（3）可得

$$k = k_0 \quad k_0 = \omega \sqrt{\mu_0 \epsilon_0}$$

磁化铁氧体中的平面波解——纵向传播的波



10

$$\begin{bmatrix} k^2 - k^2 \sin^2 \theta - k_0^2 \mu_{11} & jk_0^2 \mu_{12} & -k^2 \sin \theta \cos \theta \\ -jk_0^2 \mu_{12} & k^2 - k_0^2 \mu_{11} & 0 \\ -k^2 \sin \theta \cos \theta & 0 & k^2 - k^2 \cos^2 \theta - k_0^2 \end{bmatrix} \begin{bmatrix} h_x \\ h_y \\ h_z \end{bmatrix} = 0 \quad (3)$$

纵向传播的波：

波矢 \mathbf{k} 平行于直流磁场 \mathbf{H}_0 ， $\theta=0$

$$k^{\pm} = k_0 (\mu_{11} \pm \mu_{12})^{1/2} \quad (5)$$

由式 (3)，并应用式 (5) 中的 k 值，得到

$$\left. \begin{aligned} h_z &= 0 \\ \frac{h_y}{h_x} &= \frac{k^2 - k_0^2 \mu_{11}}{k_0^2 (-j\mu_{12})} = \pm j \end{aligned} \right\} \Rightarrow \mathbf{h}_0^{\mp} = h_x (\mathbf{x}_0 \pm j\mathbf{y}_0) \quad (6)$$

式 (6) 的解是圆极化波， \mathbf{h}_0^{\mp} 分别代表左旋和右旋圆极化波的磁场强度，由式 (5) 可见，右旋波和左旋波的传播速度是不同的。

记有效相对磁导率

则左旋与右旋波的有效波数

$$\mu_e^{\mp} = \mu_{11} \pm \mu_{12}$$

$$k^{\mp} = k_0 \sqrt{\mu_e^{\mp}}$$

磁化铁氧体中的平面波解——纵向传播的波



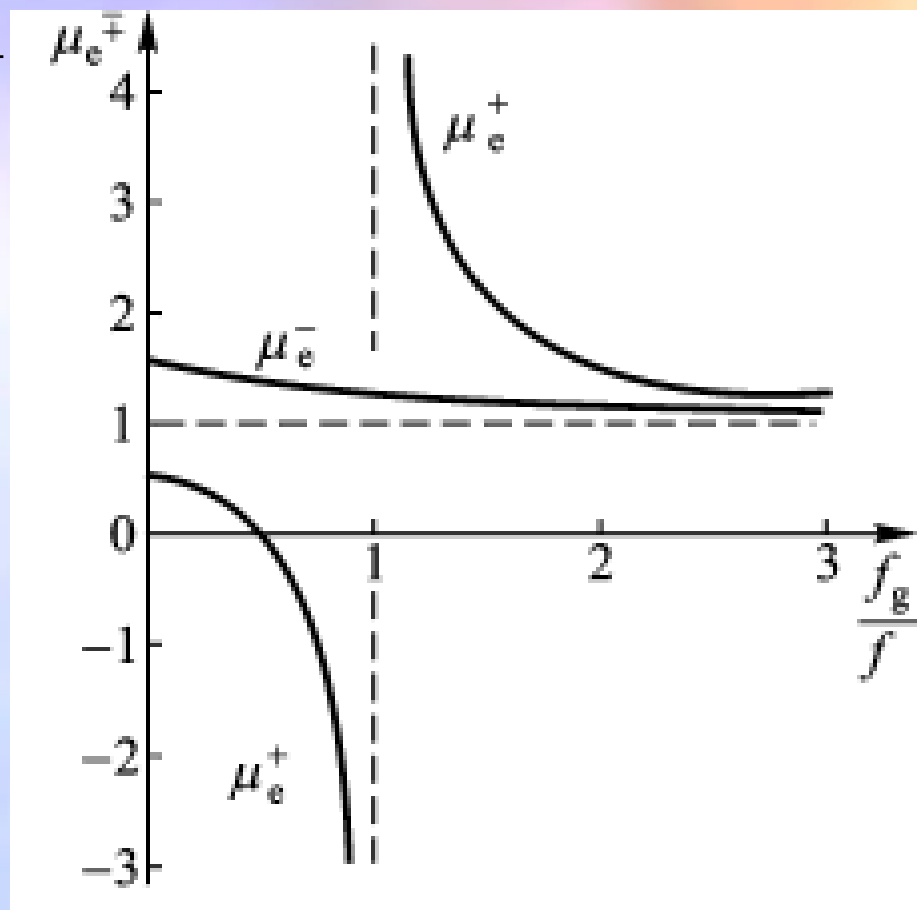
$$\mu_e^{\mp} = \mu_{11} \pm \mu_{12} \Leftrightarrow \begin{cases} \mu_{11} = 1 + \frac{\omega_g \omega_m}{\omega_g^2 - \omega^2} \\ \mu_{12} = \frac{\omega \omega_m}{\omega_g^2 - \omega^2} \end{cases}$$

$$\mu_e^{\mp} = \mu_{11} \pm \mu_{12} = 1 + f_m (f_g \pm f)^{-1}$$

从图中可见:

μ_e^+ 具有共振特性, 有通带止带

μ_e^- 无共振特性



9.8GHz平面波在YIG铁氧体中平行于直流磁场传播时与 f_g/f 关系

$\mathbf{M}_0 = 1750 \text{ Oe}$, 故 $f_m = 4.9\text{GHz}$ 。 f 值选9.8GHz。

磁化铁氧体中的平面波解——纵向传播的波

12

$$k^{\pm} = k_0(\mu_{11} \pm \mu_{12})^{1/2} \quad (5)$$

$$\mathbf{h}_0^{\mp} = h_x (\mathbf{x}_0 \pm \mathbf{j}\mathbf{y}_0) \quad (6)$$

平面波在各向异性铁氧体中传播，由于分解成左、右旋圆极化波的 k 值不同而具有不同相速，从而使合成波的极化平面旋转。

假如两分量相等或无衰减、极化平面的转角 φ 由 $\varphi = \frac{(k^- - k^+)z}{2}$ 计算

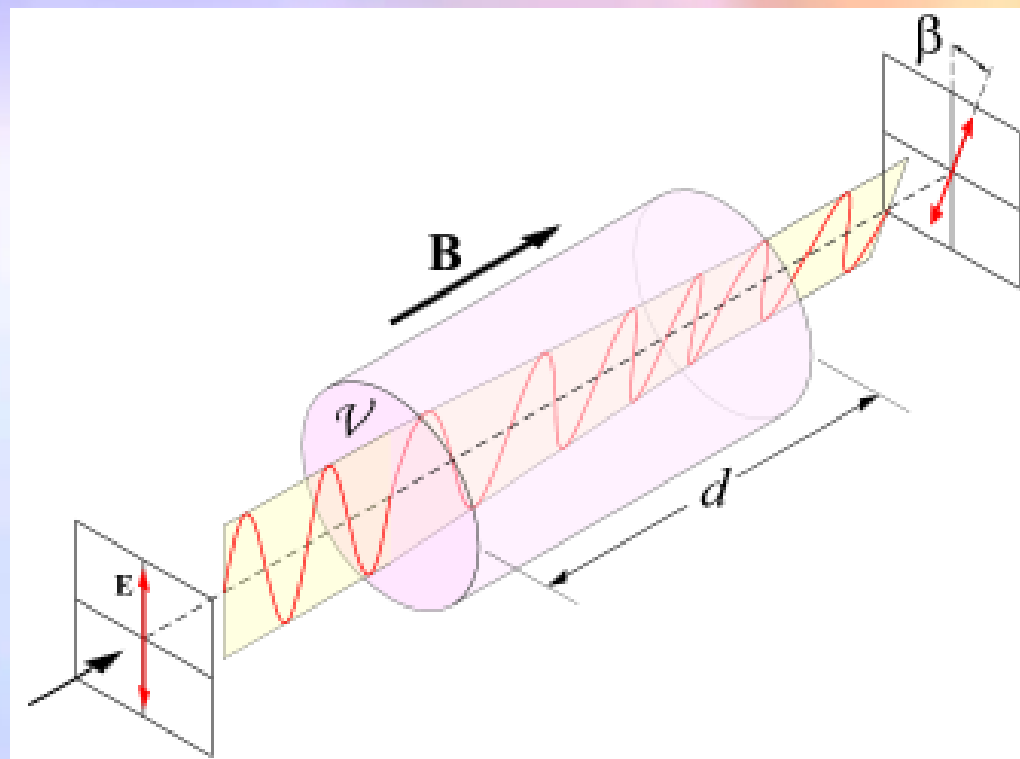
当 $\omega \gg \omega_g$, $\omega \gg \omega_m$, 上式成为 $\varphi = \frac{\omega_m}{2c} z$ 。

式中， c 是铁氧体材料中光速，因此这种情况转角与频率无关 从而把铁氧体可以制成宽带器件。

如果波在反向传播，可得相同转角，这表明铁氧体这种各向异性介质是非互易的，这种非互易性质即**法拉第旋转**。

法拉第效应（又叫**法拉第旋转**）是一种磁光效应（magneto-optic effect），是在介质内光波与磁场的相互作用。法拉第效应会造成偏振平面的旋转，这旋转与磁场朝着光波传播方向的分量呈线性正比关系。1845年，M. Faraday发现了法拉第效应。

平面波在各向异性铁氧体中传播的非互易性质即法拉第旋转。



穿过电离层的无线电波也会出现**法拉第效应**。电离层是由等离子体组成，其内含的自由电子在地球磁场作用下也会导致法拉第旋转的产生。

磁化铁氧体中的平面波解——横向传播的波 ($\mathbf{h} // \mathbf{H}_0$)

14

对于横向传播的波，当 $\mathbf{h} // \mathbf{H}_0$ 时， \mathbf{h} 只有 h_z 分量

$$k = k_0 \quad k_0 = \omega \sqrt{\mu_0 \epsilon_0}$$

波数 k 与铁氧体的各向异性无关，因而铁氧体中的场与各向同性介质中的场是一样的，故这种波一般称为寻常波。

因为 h_z 是磁场强度 \mathbf{h} 的唯一非零分量，故 $\mathbf{b}_z = \mu_0 h_z$ 是磁通量密度矢量的唯一非零分量。

从旋度方程 $\nabla \times \mathbf{E} = -j\omega \mathbf{B} \Rightarrow \omega \mathbf{b}_0 = \mathbf{k}_0 \times \mathbf{E}_0$

得电场的唯一非零分量 $E_y = \sqrt{\frac{\mu_0}{\epsilon_0}} h_z$

以及

$$\mathbf{k} = k_0 \mathbf{x}_0$$

因此寻常波是线极化 TEM_x 波，如同在 μ_0 和 ϵ 的各向同性介质中传播一样。

磁化铁氧体中的平面波解——横向传播的波 ($\mathbf{h} \perp \mathbf{H}_0$)



15

对于铁氧体中传播的非寻常波

$$k = k_0 \left(\frac{\mu_{11}^2 - \mu_{12}^2}{\mu_{11}} \right)^{1/2} \quad (7)$$

$$\begin{bmatrix} k^2 - k^2 \sin^2 \theta - k_0^2 \mu_{11} & jk_0^2 \mu_{12} & -k^2 \sin \theta \cos \theta \\ -jk_0^2 \mu_{12} & k^2 - k_0^2 \mu_{11} & 0 \\ -k^2 \sin \theta \cos \theta & 0 & k^2 - k^2 \cos^2 \theta - k_0^2 \end{bmatrix} \begin{bmatrix} h_x \\ h_y \\ h_z \end{bmatrix} = 0 \quad (3)$$

由式 (3) 和式 (7) 可以分别求得电场和磁场如下

$$\begin{cases} h_z = 0 \\ \frac{h_y}{h_x} = -j \frac{\mu_{11}}{\mu_{12}} \end{cases}$$

$$\begin{cases} b_x = b_z = 0 \\ b_y = \left(\frac{\mu_0 k^2}{k_0^2} \right) h_y = \mu_0 \mu_e h_y \end{cases}$$

$$\begin{cases} E_x = E_y = D_x = D_y = 0 \\ E_z = -\sqrt{\frac{\mu_0 \mu_e}{\epsilon_0}} h_y \end{cases}$$

$$\begin{cases} \mathbf{k} = k \mathbf{x}_0 & k = k_0 \sqrt{\mu_e} \\ \mu_e = \frac{\mu_{11}^2 - \mu_{12}^2}{\mu_{11}} = \frac{f^2 - (f_g + f_m)^2}{f^2 - f_g^2 - f_g f_m} \end{cases}$$

磁化铁氧体中的平面波解——横向传播的波 ($\mathbf{h} \perp \mathbf{H}_0$)

$$\begin{cases} h_z = 0 \\ \frac{h_y}{h_x} = -j \frac{\mu_{11}}{\mu_{12}} \end{cases} \quad \begin{cases} b_x = b_z = 0 \\ b_y = \left(\frac{\mu_0 k^2}{k_0^2} \right) h_y = \mu_0 \mu_e h_y \end{cases}$$

$$E_x = E_y = D_x = D_y = 0 \quad E_z = -\sqrt{\frac{\mu_0 \mu_e}{\epsilon_0}} h_y$$

$$\begin{cases} \mathbf{k} = k\mathbf{x}_0 & k = k_0 \sqrt{\mu_e} \\ \mu_e = \frac{\mu_{11}^2 - \mu_{12}^2}{\mu_{11}} = \frac{f^2 - (f_g + f_m)^2}{f^2 - f_g^2 - f_g f_m} \end{cases}$$

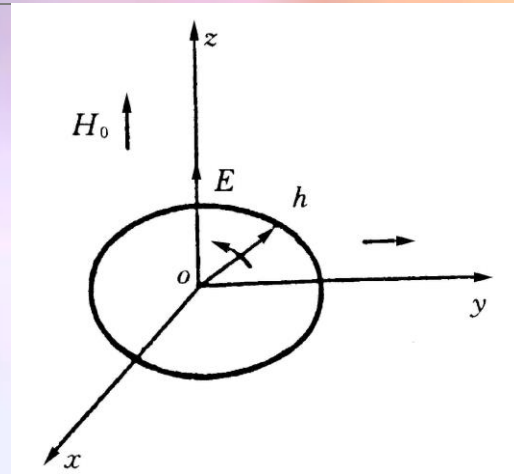
可见非寻常波是TE_x波

\mathbf{h} 在x-y平面内是椭圆极化的

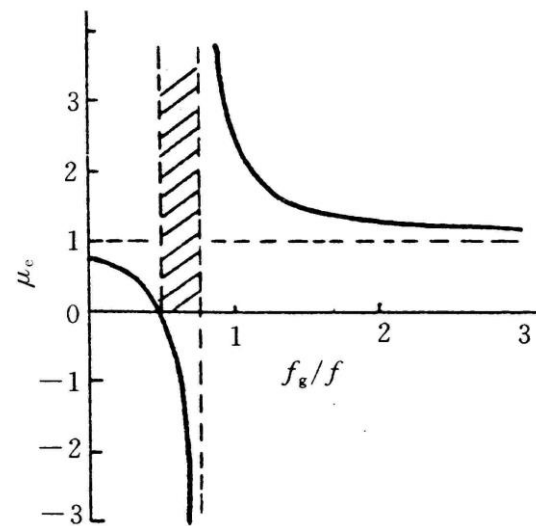
$$h_y / h_x = -j(\mu_{11} / \mu_{12})$$

由 μ_e 的表达式可见，当 $f_g/f = 1 - f_m/f_g$ ， $\mu_e = 0$ ；

当 $f_g / f = -f_m / 2f + \sqrt{(f_m / 2f)^2 + 1}$ 时，
可出现极点。



非寻常波的椭圆极化



9.4GHz非寻常平面波在YIG铁氧体中垂直于直流磁场传播时 μ_e 与 f_g/f 的关系

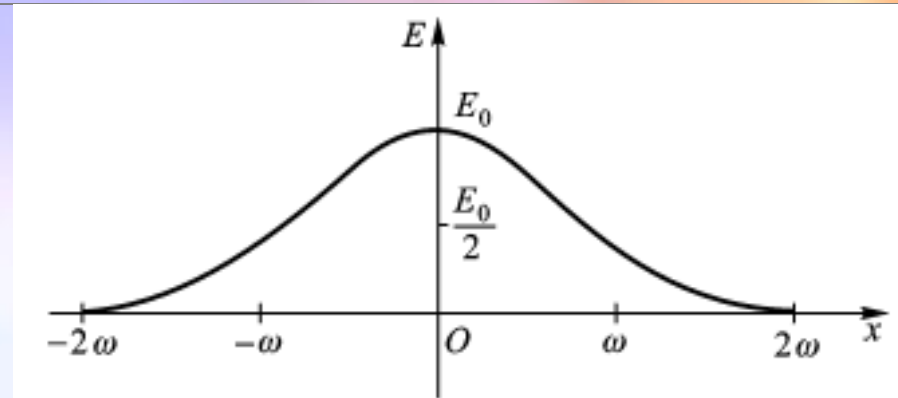
高斯光束

17

均匀平面波有以下两个特点，
其一，波的幅度在整个空间是常数；
其二，等相位面是平行平面。

对于更复杂的波，波的幅度不再均匀，波前不再是平面。

激光束就属于这种波，其幅度在中心轴线上最强，离开轴线愈远光场愈弱。场按高斯分布的光束称为高斯光束



高斯分布，非均匀波电场
按 e^{-x^2/w^2} 变化

$$E(x, z=0) = y_0 E_0 e^{-x^2/w^2}$$

高斯光束传播的分析方法：

将高斯光束展开为无限多平面波叠加，研究每个平面波的传播，再把
这些平面波加起来。

高斯光束展开为平面波的叠加

$z=0$ 的平面高斯光束 $\mathbf{E}(x, z=0) = \mathbf{y}_0 E_0 e^{-x^2/w^2}$

设 y 方向极化的平面

波表示为

$$\mathbf{E} = \mathbf{y}_0 A e^{-j(k_x x + k_z z)}$$

式中 $k_x^2 + k_z^2 = k^2, \quad k = \omega \sqrt{\mu \epsilon}$

将 $z=0$ 平面光场用平面波 $e^{-jk_x x}$ 展开

$$\mathbf{E}(x, z=0) = \mathbf{y}_0 \int_{-\infty}^{\infty} dk_x A(k_x) e^{-jk_x x}$$

量 $A(k_x)$ 可解释为 x 方向波数为 k_x 的平面波分量的幅值，根据傅里叶变换理论

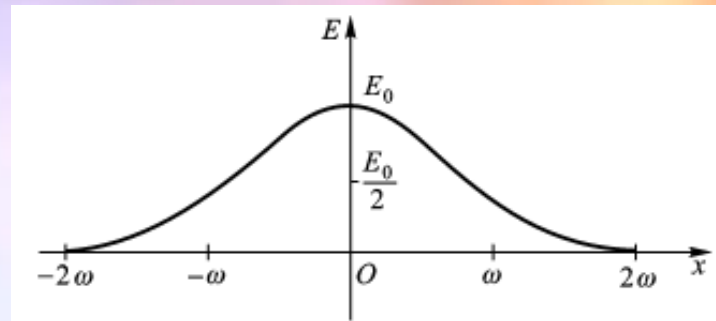
$$A(k_x) = \frac{1}{2\pi} \int_{-\infty}^{\infty} dx E(x, z=0) e^{jk_x x} = \frac{1}{2\pi} \int_{-\infty}^{\infty} dx E_0 e^{-x^2/w^2} e^{jk_x x}$$

右边积分可得解析结果 $A(k_x) = \frac{E_0 w}{2\sqrt{\pi}} e^{-\frac{w^2 k_x^2}{4}}$

诸多平面波沿 z 轴的传播，

只要乘上 $e^{-jk_z z}$ 即可

$$\mathbf{E}(x, z) = \mathbf{y}_0 \frac{E_0 w}{2\sqrt{\pi}} \int_{-\infty}^{\infty} dk_x e^{-\frac{w^2 k_x^2}{4}} e^{-j(k_x x + k_z z)}$$



高斯分布，非均匀波电场
按 e^{-x^2/w^2} 变化

高斯光束展开为平面波的叠加

19

$$E(x, z) = y_0 \frac{E_0 w}{2\sqrt{\pi}} \int_{-\infty}^{\infty} dk_x e^{\frac{-w^2 k_x^2}{4}} e^{-j(k_x x + k_z z)}$$

式中, $k_z = \sqrt{k^2 - k_x^2}$ 当 $k_x > k$, $k_z = -j\sqrt{k_x^2 - k^2}$

是虚数, 所以上述解当 $z \rightarrow \infty$ 仍有界

进行变量替换, 使 $k_x = ku$, 以及 $dk_x = kdu$

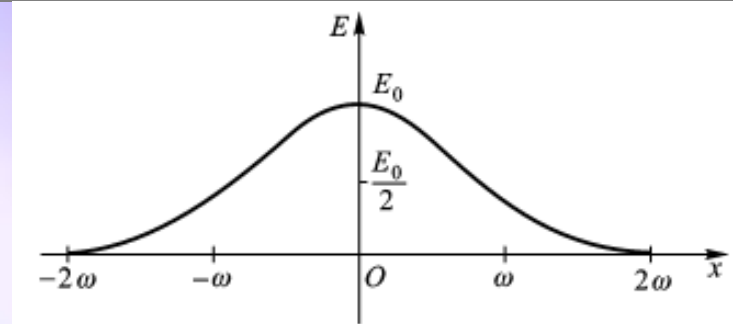
$$E(x, z) = y_0 \frac{E_0 kw}{2\sqrt{\pi}} \int_{-\infty}^{\infty} du e^{\frac{-k^2 w^2 u^2}{4}} e^{-j(kux + k\sqrt{1-u^2}z)}$$

对于大多数激光束, $kw \gg 1$ 条件都满足, 除非

u 比 1 小得多, 上式第一个指数项可忽略。当

$u \ll 1$ 时第二项中 $\sqrt{1-u^2} \approx 1 - \frac{u^2}{2}$ 其最终解为

$$E(x, z) = y_0 \frac{E_0 kw}{2P} e^{q^2/4P^2} e^{-jkz} = y_0 E_0 \frac{1}{\sqrt{1 - j\frac{z}{z_f}}} e^{-jkz} e^{\left[\frac{-x^2}{w^2 (1 + \frac{z^2}{z_f^2})} (1 + j\frac{z}{z_f}) \right]}$$



高斯分布, 非均匀波电场
按 e^{-x^2/w^2} 变化

复习要点

- 铁氧体未经磁化是各向同性的。当一恒定磁场 \mathbf{H}_0 加在铁氧体上时，它变成一块各向异性介质。如果 $\omega=0$ ，铁氧体成为一种磁性单轴晶体。磁导率 μ_{11} 、 μ_{12} 都是外加直流磁场 \mathbf{H}_0 、饱和磁化强度 \mathbf{M}_0 和外加频率 ω 的函数。因此可以用改变 \mathbf{H}_0 的办法改变 μ_{11} 和 μ_{12} 。
- 铁氧体中传播的波可以分为纵向传播的波与横向传播的波。纵向传播的波是圆极化波。左旋波和右旋波相速不等。右旋波有共振特性，有通带止带纵向传播的波是非互易的，存在法拉第旋转效应。横向传播的波分为寻常波与非寻常波。寻常波就是普通的TEM波，非寻常波是椭圆极化波。其极化特性相互垂直。
- 高斯光束是分析实际激光束的一个十分逼近的模型，可将它展开为无限多平面波的叠加。高斯光束沿 z 轴传播一段距离后，其宽度与 z 轴近似线性关系，等相位面成为一柱面。这称为高斯光束衍射。